

논문 17-2-10

Y 치환에 따른 $Pb(Ni_{1/3}Nb_{2/3})O_3-PbZrO_3-PbTiO_3$ 세라믹의 압전특성 및 적층형 압전 액츄에이터 응용

Piezoelectric Properties of Y-Substituted $Pb(Ni_{1/3}Nb_{2/3})O_3-PbZrO_3-PbTiO_3$ Ceramics and Their Application to Multilayer Piezoelectric Actuators

권정호¹, 최문석¹, 이대수², 정연학¹, 김일원², 송재성³, 정순종³, 이재신^{1,a)}
(Jeong-Ho Kwon¹, Mun-Seok Choi¹, Dae-Su Lee², Yeon-Hak Jeong¹, Ill-Won Kim²
Jae-Sung Song³, Soon-Jong Jeong³, and Jae-Shin Lee^{1,a)}

Abstract

The effects of Y_2O_3 -substitution on the piezoelectric properties of $Pb[(Ni_{1/3}Nb_{2/3})_{0.15}(Zr_{1/2}Ti_{1/2})_{0.85}]O_3$ ceramics were investigated. It was found that Y^{3+} ions incorporate into Pb-sites of the ceramics, resulting in increased lattice anisotropy and formation of Pb-vacancies. As a result, an orthorhombic-tetragonal phase transition was induced when $x > 0.005$. At the morphotropic phase boundary of $x=0.005$, piezoelectric constants (k_p , k_{33} , and d_{33}) showed maximum values of 0.53, 0.58, and 350pC/N, respectively. A 30-layer actuator fabricated with the above material showed a maximum strain of 0.12% under 100V DC bias.

Key Words : PZT, PNN, Piezoelectric, Actuator, Low temperature sintering

1. 서 론

적층형 압전세라믹스 부품 제조공정에 있어서 세라믹스와 내부전극을 동시에 소결해야 하는 공정상의 문제점과 내부 전극재인 Pd이 고가인 문제점을 가지고 있기 때문에 압전세라믹스 소재의 저온소결화 필요성이 증가되고 있다[1,2]. 소결온도를 낮추는 방법으로는 1) 분말의 미분화[3], 2) 저용접 소결조제의 첨가[4], 3) donor 치환[5], 4) 과잉의 PbO첨가[6] 등이 보고되었다. 일반적으로, 저용접 산화물을 첨가함으로써 소결온도를 낮출 수 있으

나, 첨가된 소결조제에 의해 압전성도 동시에 저하되기 때문에, 압전특성의 저하 없이 소결온도를 낮추기 위해서는 donor를 치환하는 방법이 유리하다.

여러 가지 donor 불순물 중에서 이트륨을 PZT 계에 첨가한 보고는 많지 않은 편이다. 김[7] 등에 의해 보고된 $(Pb,Ba)(Zr,Ti)O_3$ 에 Y_2O_3 를 0.1wt.% 첨가했을 때 소결밀도와 압전상수가 증가하고 전계유기 왜형율이 증가한다고 보고하였다. 그러나 그들의 결과에서는 압전상수 d_{31} 값이 140pC/N으로 낮은 편이었으며, 소결온도 또한 1300°C 이상으로 높아서 실용성이 낮은 문제가 있었다. 최근 Beittollahi와 Khezri는 이트륨을 PZT(53/47)의 Pb 원자자리에 치환한 결과 Y의 고용도가 2.5mol% 정도이고 고용도 이상의 조성에서는 사방정-정방정 상전이를 유발하는 것으로 보고하였다[8]. 그러나 그들 역시 이트륨 도핑으로 유전율과 압전상수의 향상은 얻지 못하였다.

이상과 같은 배경에서 본 연구에서는 2성분계 PZ-PT계 대신에 삼성분계 PNN-PZ-PT 계에 대

1. 울산대학교 첨단소재공학부
(울산시 남구 무거2동 산 29)

2. 울산대학교 물리학과

3. 한국전기연구원 전자기소자연구그룹
a : Corresponding Author : ljs115@hitech.net

접수일자 : 2003. 8. 28

1차 심사 : 2003. 9. 26

2차 심사 : 2003. 10. 15

심사완료 : 2003. 11. 10

한 Y 치환 효과를 살펴보았다. 삼성분계 기본조성은 예비실험을 통하여 d_{33} 가 400pC/N로 비교적 높은 $0.15\text{Pb}(\text{Ni}_{1/3}\text{Nb}_{2/3})\text{O}_3\text{-}0.85\text{Pb}(\text{Zr}_{1/2}\text{Ti}_{1/2})\text{O}_3$ 를 선택하였다. 또한 상기 소재를 이용하여 단판형과 적층형 액츄에이터를 제작하여 전계유기 왜형 특성을 살펴봄으로써 적층형 압전액츄에이터의 응용 가능성이 살펴보았다.

2. 실험 방법

2.1 시편 제조

2.1.1 단판형

본 연구에서 선택한 조성은 다음과 같다. $(\text{Pb}_{(1-x)}\text{Y}_x)[(\text{Ni}_{1/3}\text{Nb}_{2/3})_{0.15}(\text{Zr}_{1/2}\text{Ti}_{1/2})_{0.85}]\text{O}_3$ ($x=0, 0.005, 0.01, 0.03, 0.05$) (이하 PYNN-PZT로 표기함) 순도가 99.9%이상인 PbO , Y_2O_3 , NiO , Nb_2O_5 , ZrO_2 , TiO_2 분말을 출발원료로 사용하였다. B-site 원소의 산화물인 NiNb_2O_6 및 ZrTiO_4 상을 1100°C 에서 고상반응법으로 제조한 후 PbO 와 Y_2O_3 분말을 첨가하여 24시간동안 습식 혼합한 후, 850°C 에서 2시간동안 2차 하소를 하였다. 5wt.% PVA를 결합제로 첨가하여 약 100MPa의 압력하에서 직경이 18mm인 원판형 성형체를 만든 다음, 1000°C 에서 2시간 동안 소결하였다. 얻어진 소결체를 두께가 1mm가 되도록 표면을 연마하고, 양면에 Ag 전극을 부착한 다음, 120°C 의 실리콘 절연유에 담그어 3kV/mm 전계를 30분간 인가하여 분극처리를 하였다.

2.1.2 적층형

적층형 압전액츄에이터 제작에 테이프주입법을 이용하였다. PYNN-PZT 분밀에 용매와 분산제를 첨가하여 24시간 동안 1차 혼합한 후 결합제와 가소제를 첨가하여 다시 24시간 동안 2차 혼합하여 세라믹 슬리리를 제조하였다. 탈포과정을 거친 슬리리를 이용하여, 높이가 $200\mu\text{m}$ 인 doctor blade 장치로 green sheet를 제작한 후 30층을 Ag/Pd (80/20)전극과 교대로 적층하여 $10^{\text{l}}\times10^{\text{w}}\times1.7^{\text{t}}(\text{mm})$ 의 크기로 절단하고 소결하였다. 소결체를 역시 3kV/mm의 전계하에서 30분간 분극처리하였다.

2.2 측정

분극처리한 시편을 상온에서 24시간 유지한 후 impedance analyzer (HP 4194A)를 이용하여 공진 및 반공진법으로 전기기계 결합계수(k_p , k_{33})를 측정하였으며, Berlincourt Piezo d₃₃-meter (CPDT 3300, Channel Products)를 이용하여 압전상수(d_{33})

를 측정하였다. SEM과 XRD로 시편의 미세구조와 결정구조를 각각 분석하였고, He-Ne 레이저 광간섭계를 이용하여 시료의 전계유기 왜형율을 측정하였다.

3. 결과 및 고찰

그림 1에 Y 치환량의 변화에 따른 PYNN-PZT 세라믹스의 X선 회절패턴의 변화를 나타내었다. 전체적으로 perovskite 결정구조를 나타내었으나, Y치환량 x 가 0.01 이상이면 Y_2O_3 가 전량 고용되지 않고 2차상으로 남는 것을 알 수 있다. 또한 44° 부근의 (200) 회절선을 자세히 관찰하면 Y의 치환량이 증가함에 따라 (200)과 (002) 피크로 분리가 일어남을 볼 수 있다.

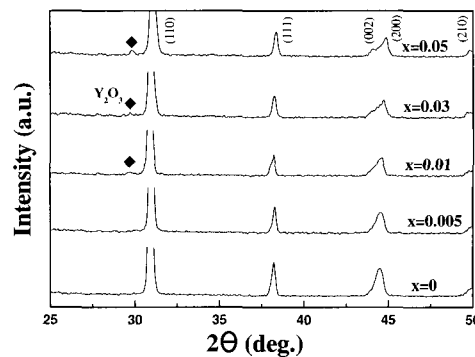


그림 1. 조성변화에 따른 PYNN-PZT 세라믹스의 XRD 패턴.

Fig. 1. X-ray diffraction patterns as a function of composition x for PYNN-PZT ceramics sintered at 1000°C .

X선 회절분석 결과로부터 격자상수와 단위격자부피의 변화를 계산하여 그림 2에 나타내었다. 그림으로부터 알 수 있는 중요한 사실은 Y를 첨가하지 않은 PNN-PZT는 사방정을 가지나 Y를 Pb 자리에 0.005이상 치환하면 정방정을 갖게 되며 격자이방성 또한 Y의 치환량이 증가함에 따라 증가한다는 점이다. Y^{3+} 이온은 이온반경이 0.90\AA 이고, 산소이온의 이온반경은 1.32\AA 이므로 반경비가 0.682가 되어 산소 6배위 자리가 안정하다. 따라서 perovskite 구조에서 4배위 자리인 B-site 보다 6배위 자리인 Pb-site에 치환 될 것으로 보인다. 그

립에서 Y 치환량이 증가함에 따라 단위격자체적이 감소한 결과 또한 이러한 가정을 뒷받침한다. 그러나 원자가가 3가인 Y^{3+} 이온이 2가인 A-site의 Pb^{2+} 자리에 치환됨으로써 전하중성을 위해 Pb^{2+} 자리의 공공이 생성된다[7]. 따라서 Y가 치환됨에 따라 격자비틀림이 유발되고 내부 응력이 증가하므로, 이를 해소하기 위해 사방정-정방정 상전이가 일어난 것으로 사료된다[9]. 이와 유사한 현상은 Y를 치환한 PZT(53/47)계와 Bi_2O_3 를 첨가한 PNN-PZT계에서도 관찰되었다[8,10].

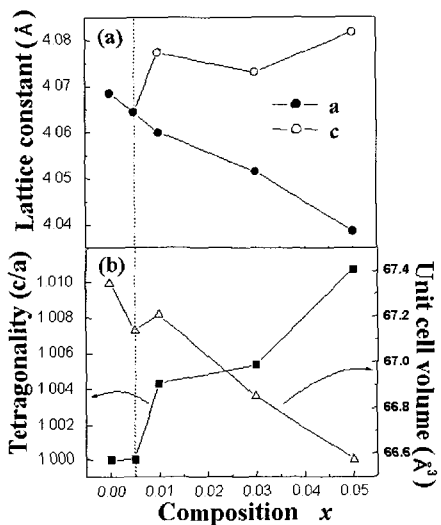


그림 2. 조성변화에 따른 PYNN-PZT 세라믹스의 (a)격자상수와 (b)이방성 및 단위격자부피.

Fig. 2. (a)Lattice constant, (b) tetragonality and unit cell volume of PYNN-PZT eramics as a function of the composition x .

그림 3에 Y 치환량 x 의 변화에 따른 PYNN-PZT 세라믹스의 표면 미세구조의 변화를 나타내었다. 전반적으로 치밀한 미세조직을 나타내었으나 평균입도는 Y가 치환되지 않은 PMN-PZT의 경우 $1.8\mu m$ 에서 $x=0.005$ 일 때 $2.1\mu m$ 로 증가하였다가 그 이상 x 가 증가하면 입도가 감소하였다. 이러한 결과는 두 가지 상반된 영향에 의한 것으로 보인다. Y 치환량인 x 가 고용도 이하일 때는 Y가 Pb 자리에 치환되면서 생성된 Pb 공공에 의해 고체확산을 촉진시키지만, Y를 고용도 이상으로 과다하게 첨가하면 입계에 잔류하는 Y_2O_3 상에 의해 입자성장이 억제되는 결과를 동시에 초래하기 때문이다[11].

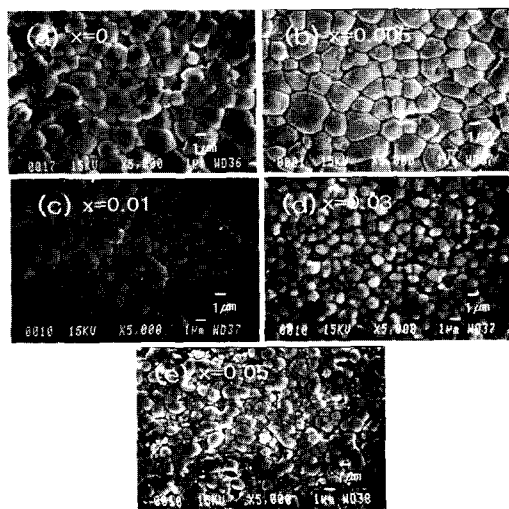


그림 3. 조성변화에 따른 PYNN-PZT 세라믹스의 미세구조.

Fig. 3. Surface SEM micrographs of PYNN-PZT ceramics as a function of the composition x .

그림 4에 Y 치환량의 변화에 따른 PYNN-PZT 세라믹스의 상온유전율과 큐리점의 변화를 나타내었다. 큐리점은 상대유전율이 최대가 되는 온도를 측정하여 구하였다. 상대유전율은 사방정 구조일 때 정방정구조 보다 높은 값을 나타내었다. $x=0.005$ 일 때 상대유전율이 갑자기 낮아지는 것은 상경계이기 때문에 주축된다. 큐리점은 Y의 치환량이 증가함에 따라 증가하는 경향을 나타내었다. 이는 그림 2에서 볼 수 있듯이 Y가 Pb 자리에 치환됨에 따라 Y 치환량이 증가할수록 격자이방성이 증가하였기 때문이다. PZT계에서도 격자이방성이 증가할수록 큐리점이 증가하는 것은 잘 알려져 있다.

Y 치환에 따른 전기기계결합계수 k_p 와 k_{33} 의 변화를 그림 5에 나타내었다. 상경계인 $x=0.005$ 일 때 $k_p=53.2\%$, $k_{33}=67.5\%$ 로 가장 우수한 압전특성을 나타내었으며, $x \geq 0.01$ 에서는 감소하는 경향을 나타내었다. 이 결과는 다음의 두가지 요인에 의한 것으로 사료된다. 첫째는 PZ-PT의 상경계에서 가장 우수한 압전특성을 얻을 수 있는 것은 잘 알려져 있듯이 상경계에서 분극이 가장 용이하게 된다[12]. 둘째는 그림 3에서 살펴보았듯이 이 때 결정입도가 가장 크고 치밀한 미세구조를 가진다. 입도가 증가할수록 분극시 분역벽 이동을 억제하는 입

계의 pinning 효과를 감소시킴으로써 역시 분극이 용이하게 된다[13,14].

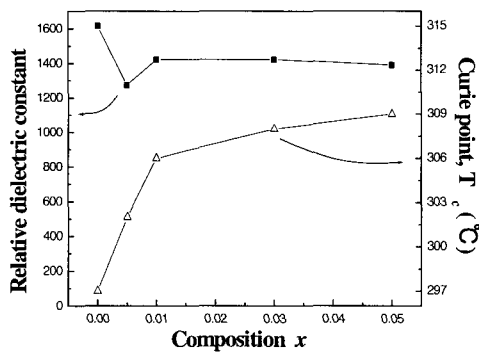


그림 4. 조성변화에 따른 PYNN-PZT 세라믹스의 상대유전율과 상전이 온도.

Fig. 4. Relative dielectric constant and Curie point of PYNN-PZT ceramics as a function of the composition x .

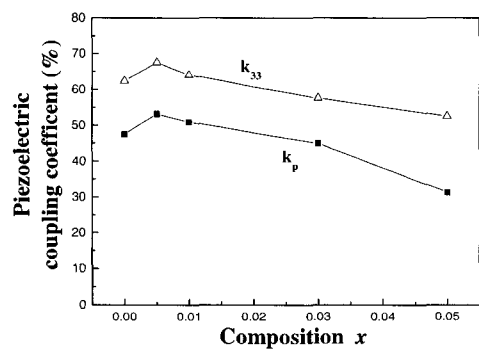


그림 5. 조성변화에 따른 PYNN-PZT 세라믹스의 전기기계결합계수.

Fig. 5. Piezoelectric coupling coefficients (k_p , k_{33}) of PYNN-PZT ceramics as a function of the composition x .

그림 6에 시편의 압전상수(d_{33})의 계산치와 측정치를 비교하여 나타내었다. 3축 종방향 압전상수는 식 (1)과 같이 표시할 수 있다.

$$d_{33} = k_{33} \sqrt{\varepsilon_3^T S_{33}^E} \quad (1)$$

윗 식에서 탄성계수 S_{33}^E 은 식 (2)와 (3)을 이용하여 공진자의 밀도, 두께, 병렬공진주파수(f_p)를 측정하여 구할 수 있다.

$$S_{33}^E = \frac{S_{33}^D}{1 - k_{33}^2} \quad (2)$$

$$S_{33}^D = \frac{1}{4\rho f_p^2 \cdot t^2} \quad (3)$$

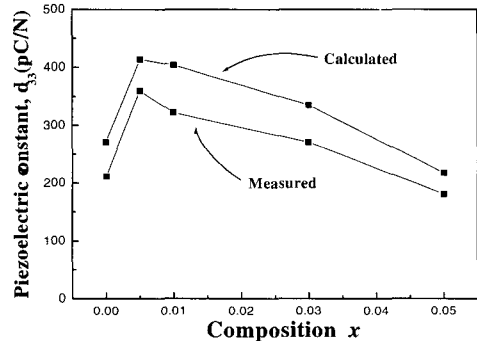


그림 6. 조성변화에 따른 PYNN-PZT 세라믹스의 압전상수(d_{33}).

Fig. 6. Piezoelectric coefficient, d_{33} , of PYNN-PZT ceramics as a function of the composition x .

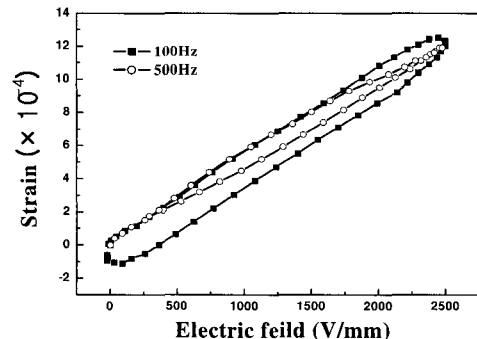


그림 7. 적층세라믹 액츄에이터의 전계유기왜형.

Fig. 7. Electric field-induced strain of a 30-layer ceramic actuator.

계산치는 실측치보다 약 20% 정도 높은 결과를 보였지만 Y 치환량의 변화에 따른 변화 경향은 실측치와 잘 일치한다. 상경계인 $x=0.005$ 에서 최대치의 압전상수를 나타낸 것은 이때 전기기계결합계수 k_{33} 와 탄성계수 S_{33}^E 가 최대를 보였기 때문이다. 이러한 결과 역시 이 때 가장 치밀한 미세조직을 가지고 상경계 조성을 가졌기 때문이다.

그림 7에 상경계 조성으로 제작한 적층형 압전 세라믹 액츄에이터의 전계유기 왜형 특성을 나타내었다. 제작된 액츄에이터에서 세라믹 단층의 두께는 $40\mu\text{m}$ 이었고, 이를 30층을 적층하여 전체 크기는 $10\times10\times1.7\text{ mm}^3$ 이었다. 왜형율은 전계에 직선적으로 비례하였으며, 전계 증가시와 하강시 변형거동에 이력을 나타내었다. 2.5kV/mm 의 전계에서 최대 변형율은 0.12%임을 알 수 있다. 인가 전계의 주파수를 100Hz 와 500Hz 로 변화시켰을 때 최대 변형율은 변화가 없었으나 이력률이 각각 19%, 9.65%로 주파수가 높을 때 더 낮은 이력율을 나타내었다. 이는 정방정계와 능면정계가 혼재된 상경계 영역의 압전세라믹스 재료는 180° 분역과 90° , 71° , 107° 분역과 같은 non- 180° 분역들로 구성되어 있다. 분역 이동도 면에서 180° 분역 보다 non- 180° 분역의 이동도가 낫다. 이를 non- 180° 분역 이동속도가 결정내 변위와 이온의 이동에 의하여 제한된다. 따라서 인가 전계의 주파수가 증가할수록 non- 180° 분역의 재배열이 전계 방향에 동조하지 못하게 되어 변형에 대한 기여도가 감소한다. 따라서 높은 주파수에서는 전계유기변위만이 지배적으로 나타나게 되어, 이력 폭의 감소가 발생하는 것으로 사료된다[15].

4. 결 론

적층형 압전액츄에이터의 응용을 위해 Y^{3+} 이온의 치환량 x 를 $0\sim0.05$ 범위에서 변화시켜 얻은 PNN-PZT 세라믹스의 소결특성 및 압전, 전계유기변형 특성을 살펴 보았다. Y를 치환한 결과 Y^{3+} 이온은 Pb^{2+} 자리에 치환되어 PNN-PZT 세라믹스의 사방정-정방정 상전이를 유발하였고, 소결성을 향상시켜 입도와 밀도를 향상시켰다. 상경계인 $x=0.005$ 일 때 가장 치밀한 미세구조를 나타내어 k_p 와 d_{33} 가 가장 높았다.

또한 $(\text{Pb}_{0.995}\text{Y}_{0.005})[(\text{Ni}_{1/3}\text{Nb}_{2/3})_{0.15}(\text{Zr}_{1/2}\text{Ti}_{1/2})_{0.85}]_{0.3}$ 세라믹스와 내부전극으로 $\text{Ag}/\text{Pd}(8/2)$ 을 사용하여 1000°C 의 낮은 소결온도에서 제작한 적층액츄에이

터는 100V 의 낮은 구동전압에서 0.12%의 우수한 변위특성을 나타내었다.

감사의 글

본 연구는 과학기술부의 21세기 프론티어연구개발사업의 일환인 '차세대소재성형기술개발사업단'의 연구비 지원으로 수행되었습니다.

참고 문헌

- [1] K. Murakami, D. Dong, H. Suzuki, and S. Kaneko, "Microanalysis of grain-boundary on low-temperature sintered $\text{Pb}(\text{Zr},\text{Ti})\text{O}_3$ ceramics with complex oxide additives", Jpn. J. Appl. Phys., Vol. 34, Part 1(9B), p. 5457, 1995.
- [2] S. Kaneko, D. Dong, and K. Murakami, "Effect of simultaneous addition of BiFeO_3 and $\text{Ba}(\text{Cu}_{0.5}\text{W}_{0.5})\text{O}_3$ on lowering of sintering temperature of $\text{Pb}(\text{Zr},\text{Ti})\text{O}_3$ ceramics", J. Am. Ceram. Soc., Vol. 81, No. 4, p. 1013, 1998.
- [3] E. Nieto, J. F. Fernandez, C. Moure, and P. Duran, "Multilayer piezoelectric devices based on PZT", J. Mater. Sci. Mater. Elec., Vol. 7, p. 55, 1996.
- [4] J. H. Moon, H. M. Jang, and B. D. Yoo, "Densification behaviors and piezoelectric properties of MnO_2 , SiO_2 -doped $\text{Pb}(\text{Ni}_{1/3}\text{Nb}_{2/3})\text{O}_3\text{-PbTiO}_3\text{-PbZrO}_3$ Ceramics", J. Mater. Res., Vol. 8, No. 12, p. 3184, 1993.
- [5] H. S. Yoon, H. S. Jeong, I. H. Im, K. H. Yoon, and C. Y. Park, "Piezoelectric and electro-induced strain properties of $(\text{Pb}_{1-2x/3}\text{Bi}_x)[(\text{Ni}_{1/3}\text{Nb}_{2/3})_{0.4}(\text{Ti}_{0.6}\text{Zr}_{0.4})_{0.6}]\text{O}_3$ Ceramics with the Substitution of Bi_2O_3 ", J. of KIEEME(in Korean), Vol. 10, No. 5, p. 434, 1997.
- [6] B. G. Jeon, H. D. Nam, and S. T. Kim, "Effects of excess PbO and ball-milling on the microstructure, sintering behavior and mechanical properties of PZT ceramics",

- J. Kor. Ceram. Soc., Vol. 32, No. 6, p. 726, 1995.
- [7] K. S. Kim, K. H. Yoon, H. S. Yoon, H. I. Hong, J. H. Yoo, and C. Y. Park, "Dielectric and electrostrictive properties of (Pb,Ba)_{(Zr,Ti)O₃} ceramics with Y₂O₃ addition", J. of KIEEME(in Korean), Vol. 9, No. 6, p. 551, 1996.
- [8] A. Beitolahi and C. Khezri, "Effect of the addition of Y₂O₃ on the structure, microstructure and piezoelectric properties of PZT(53/47)", J. Mater. Sci. Mater. Elec., Vol. 12, p. 707, 2001.
- [9] Y. B. Kim and E. S. Lee, "Microstructure and dielectric properties in 40Pb(Mg_{1/3}Nb_{2/3})O₃-30PbTiO₃-30Pb(Mg_{1/2}W_{1/2})O₃ ceramics with excess 91Pb-9WO₃ addition," J. Kor. Ceram. Soc., Vol. 34, No. 3, p. 281, 1997.
- [10] H. S. Yoon, H. S. Jeong, I. H. Im, K. H. Yoon, J. H. Kim, and C. Y. Park, "Piezoelectric and electro-induced strain properties of [Pb_{1-2x/3}Bi_x][(Ni_{1/3}Nb_{2/3})_{0.4}(Ti_{0.6}-Zr_{0.4})_{0.6}]O₃ ceramics with the substitution of Bi₂O₃", J. of KIEEME(in Korean), Vol. 10, No. 5, p. 434, 1997.
- [11] J. H. Kim, K. S. Lee, D. H. Lee, and C. Y. Park, "Variations of ferroelectric properties with the addition of yttrium acetate in the Pb(Zr_{0.65}Ti_{0.35})O₃ thin films prepared by sol-gel processing," J. of KIEEME(in Korean), Vol. 8, No. 3, p. 261, 1995.
- [12] K. H. Yoon, K. S. Kim, and B. S. Choi, "Piezoelectric and electric field induced strain properties of PMW-PNN-PZT ceramics with the substitution of Ba", J. of KIEEME(in Korean), Vol. 14, No. 1, p. 20, 2001.
- [13] S. L. Swartz, T. R. Shroud, W. A. Shulz, and L. E. Cross, "Dielectric properties of lead-magnesium Niobate ceramics", J. Am. Ceram. Soc., Vol. 67, No. 5, p. 311, 1984.
- [14] K. H. Yoon, H. S. Yoon, J. H. Yoo, and C. Y. Park, "Dielectric and piezoelectric properties of PMW-PNN-PZT system ceramics", J. of KIEEME(in Korean), Vol. 13, No. 3, p. 214, 2000.
- [15] M. S. Yoon and H. G. Chae, "The effect of Non-180° domain on the piezoelectric and dielectric properties of the PSN-PZT ceramics under alternation strong electric field", J. Kor. Ceram. Soc., Vol. 37, No. 9, p. 871, 2000.